

## Betriebsverhalten vorgesteuerter 2-Wege-Stromregelventile unterschiedlicher Bauform

Y. H. Lu,  
R. M. Trudzinski

Seit Jahren ist bei hydrostatischen Baueinheiten die Tendenz zu größeren Antriebsleistungen sowie zu erhöhten Anforderungen an das Steuer- und Regelverhalten festzustellen. Die vorliegende Untersuchung greift diese Entwicklung für 2-Wege-Stromregelventile auf, indem vorgesteuerte Baueinheiten, deren Konstruktion auch für große und sehr große Volumenströme geeignet ist, eingehend geprüft werden.

Als Versuchsobjekte wurden je ein Stromregelventil nach dem Prinzip der Differenzdruckregelung an einer Meßblende und nach einem neuen Regelkonzept mit Volumenstromsensor und Krafterückführung, ausgewählt. Die Meßergebnisse des statischen und dynamischen Verhaltens beider Versuchsobjekte werden vorgestellt und diskutiert.

Seit fast einhundert Jahren werden Stromregelventile erfolgreich zur stufenlosen, lastunabhängigen Geschwindigkeits- oder Drehzahlsteuerung eingesetzt. Während die konstruktive Gestaltung dieser Ventile in diesem Zeitraum ständig verbessert wurde, blieb ihr Grundprinzip, das auf den britischen Ingenieur Fleeming Jenkin (1833-1885) zurückgeht, unverändert erhalten. Die Weiterentwicklung der konstruktiven Gestaltung ist allerdings inzwischen so weit fortgeschritten, daß sich die direktwirkenden Serienstromregelventile der verschiedenen Hersteller zum Teil nur noch in Details unterscheiden. Dies deutet darauf, daß diese Bauform mit ihren verbesserten Konstruktionsdaten einen brauchbaren Kompromiß im Hinblick auf die vielfältigen Einsatzfälle darstellt.

### Stromregelventil mit Differenzdruckregelung an einer Meßblende

Das Grundprinzip des konventionellen Stromregelventils sei zunächst – insbesondere, um die Unterschiede zwischen den hier untersuchten Ventilen zu verdeutlichen – kurz beschrieben.

An einer Meßblende wird der über das Stromregelventil strömende Volumenstrom in eine

Dr.-Ing. Y. H. Lu ist Dozent für Hydraulik an der Chekiang Universität Hangchow/VR China. Seit 2 Jahren besucht er als Stipendiat der Alexander von Humboldt-Stiftung die Bundesrepublik und arbeitet als wiss. Mitarbeiter am Institut für hydraulische und pneumatische Antriebe und Steuerungen der RWTH Aachen.

Dr.-Ing. R. M. Trudzinski war bis 1.9.1980 wiss. Mitarbeiter am o. a. Institut. Leiter: Prof. Dr.-Ing. W. Backé

Druckdifferenz gewandelt, die für den nachgeschalteten Differenzdruckregelkreis die Regelgröße darstellt. Dieser Regelkreis besteht aus einem Differenzdrucksensor, einem Vergleichsglied zwischen Soll- und Istwert sowie einem Stellglied. Die komplexen Regelaufgaben werden bei direktwirkenden Stromregelventilen durch einen federbelasteten Kolben mit integriertem hydrostatischen Widerstand erfüllt.

Für große Volumenstromwerte  $Q > 100-150 \text{ l/min}$  reicht die übliche Meßblendendruckdifferenz von 5-15 bar nicht aus, um den Einfluß der auf das Vergleichsglied und das Stellglied wirkenden Strömungskräfte so weit zu verringern, daß hierdurch keine bemerkenswerten Verschlechterung der Regelcharakteristik des Stromregelventils hervorgerufen wird. Deshalb werden hierfür vorgesteuerte Ventile eingesetzt, bei denen das Differenzdrucksignal – das an der Meßblende erzeugt wird und ein Maß für den Volumenstrom des Ventils darstellt – zunächst verstärkt wird, bevor es zur Ansteuerung des Stellgliedes verwendet wird. Diese Verstärkerfunktion kann mechanisch, elektrisch oder hydraulisch erfolgen.

Aus der Vielzahl möglicher Bauformen, wie sie in [1] vorgestellt werden, soll im folgenden auf das in Bild 1 gezeigte Ventil näher eingegangen werden. Es besteht aus zwei in Reihe geschalteten 2-Wege-Einbauventilen, von denen das zweite mit einer Stellschraube gegen die im Steuerraum angeordnete Feder verlagert werden kann. Dieses Element erfüllt in der Konstruktion die Aufgabe der Meßblende. Die Druckdifferenz an dieser Meßblende wirkt auf den Vorsteuerkolben und bestimmt damit den Steuerquerschnitt des Vorsteuerventils. Hier von abhängig stellt sich der Steuerdruck ein, der auf den Steuerdruckanschluß des Stellglieds wirkt. Die Druck- und Federkräfte auf das Stellglied bedingen hierbei den Steuerquerschnitt der Hauptstufe.

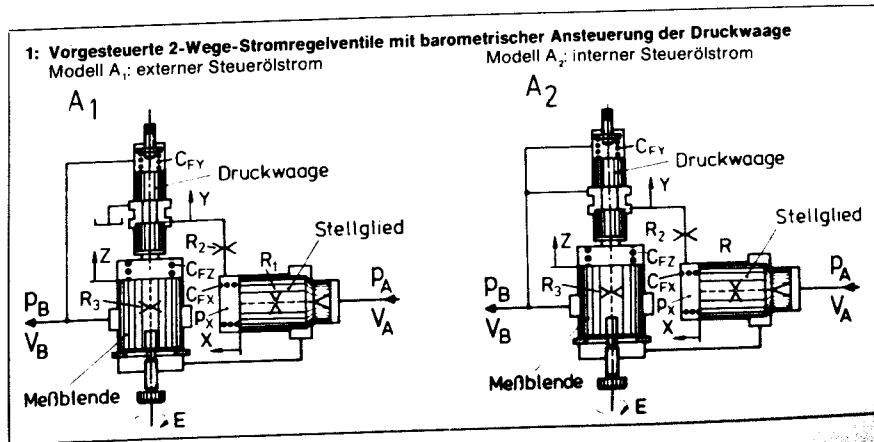
Der Unterschied zwischen Modell A<sub>1</sub> und A<sub>2</sub> betrifft die Steuerölstromführung. Während Modell A<sub>1</sub> über einen externen Tankanschluß für den Steuerölstrom verfügt, wird dieser bei Modell A<sub>2</sub> zusätzlich zum geregelten Volumenstrom zum Verbraucher geleitet. Neben der Einsparung einer separaten Tankleitung weist Modell A<sub>2</sub> zudem beim Anfahrstrom den Vorteil auf, daß das Stellglied für  $\Delta p = p_A - p_B = 0$  geschlossen ist, während – gleiche Be-

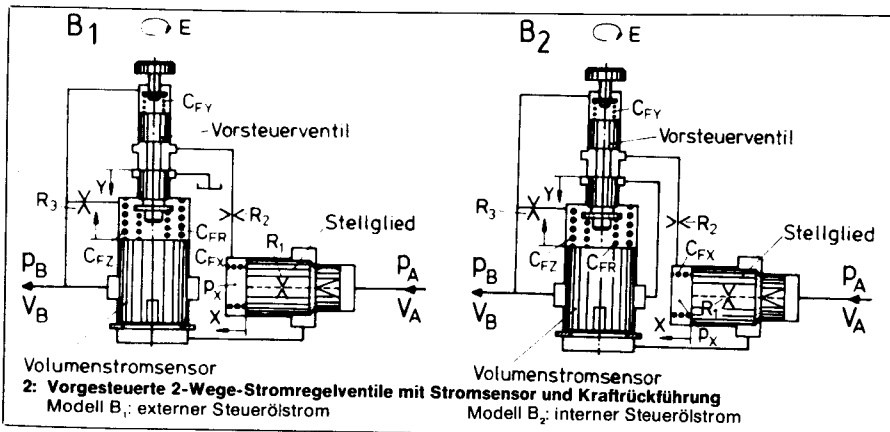
triebsbedingungen vorausgesetzt – bei Modell A<sub>1</sub>, das Stellglied sich in Öffnungsposition befindet. Daß sich hierdurch die Stromüberhöhungen, d. h. die Abweichung zwischen Soll- und Istwert des Volumenstromsignals, beträchtlich unterscheiden, ist verständlich. Dagegen ist Modell A<sub>1</sub>, in den Fällen einzusetzen, in denen der Stromregelventil weitere Funktionen verbessert werden soll, z. B. in der Konstantstromfunktion.

### Stromregelventil mit Volumenstromsensor und Krafterückführung

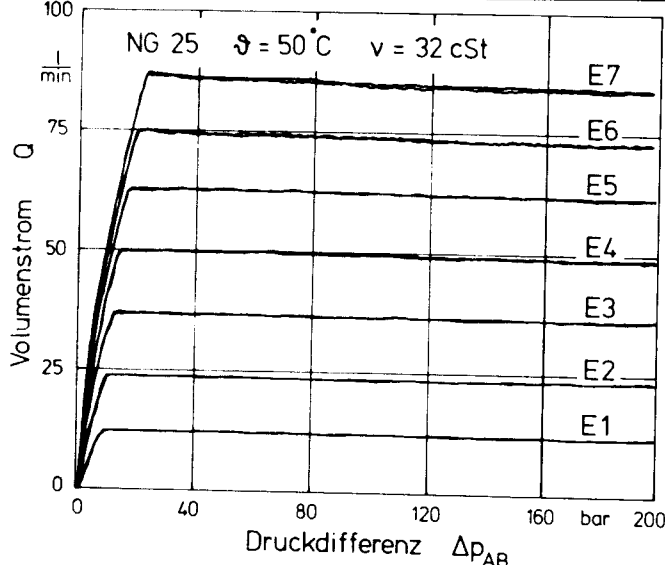
Das statische und dynamische Verhalten dieses Ventils soll nun mit dem Verhalten eines in [2] vorgestellten, neuentwickelten Stromregelventils verglichen werden (Bild 2). Im Gegensatz zum 2-Wege-Stromregelventil mit barometrischer Ansteuerung der Druckwaage, wird hierbei der Volumenstrom des Ventils mit einem Volumenstromsensor gemessen. Hierbei stellt die Hubänderung des Volumenstromsensors, der – wie das Stellglied – als 2-Wege-Einbauventil ausgeführt ist, ein Maß für die Abweichung zwischen vorgegebenem und tatsächlichem Volumenstromwert dar.

Die Feder, die zwischen dem Volumenstromsensor und dem Vorsteuerventil angebracht ist, bewirkt bei einer Abweichung des Stromsensors, von dem vorgegebenen Hub eine Kraftänderung auf den Vorsteuerschieber, der bei zu großem Ist-Volumenstrom in der Weise auslenkt, daß der Steuerquerschnitt der Vorsteuerung zum Verbraucher vermindert wird, wodurch der Steuerdruck ansteigt und das Stellglied in Schließrichtung auslenkt. Für zu geringe Volumenstromwerte, d. h. der Volumenstrom zum Verbraucher unterschreitet die Volumenstromvorgabe, wird der Volumenstromsensor nur einen relativ geringen Hub aufweisen; die Federkraft auf den Vorsteuerschieber wird demnach relativ klein sein. Hieraus resultiert eine Verlagerung des Steuerkolbens, die den Steuerquerschnitt der Vorsteuerstufe vergrößert. Der Steuerdruck  $p_x$  sinkt und das Stellglied wird in der Weise ausgelenkt, daß der Steuerquerschnitt am 2-Wege-Einbauventil vergrößert wird. Diese Vorgänge sind abgeglichen, sobald sich über das Stellglied und den Volumenstromsensor der vorgegebene Volumenstrom einstellt.

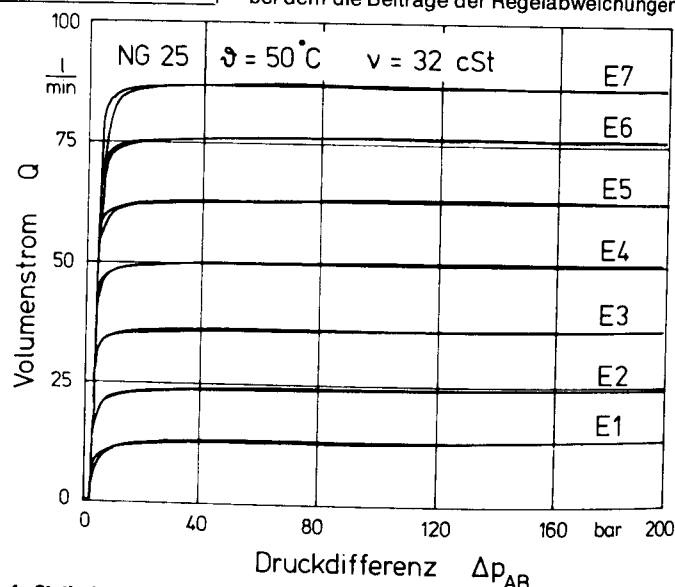




Ein Blick auf das statische Kennfeld  $Q = f(p_A - p_B, E)$  des Modells B<sub>1</sub> (Bild 4), zeigt demgegenüber gewisse Unterschiede. Im Regelbereich, d. h. in dem Bereich des statischen Kennfeldes, der durch weitgehende Konstanz des Volumenstromes ausgezeichnet ist, stellt sich für Modell A<sub>1</sub> ein negativer Volumenstromkoeffizient  $\lambda = \partial Q / \partial p_B$  ein, während dieser für Modell B<sub>1</sub> für kleine Volumenstromsignale ein positives und für große ein negatives Vorzeichen aufweist. Für mittlere Volumenströme ist bei diesem Modell im Regelbereich der Lasteinfluß auf das Gleichstromverhalten praktisch zu vernachlässigen. Damit weist Modell B<sub>1</sub> – bis auf den Bereich kleiner Volumenstromwerte  $10 \leq Q \leq 25$  l/min, bei dem die Beiträge der Regelabweichungen



3: Statisches Kennfeld  $Q = f(p_A - p_B, E)$  des vorgesteuerten Stromregelventils mit barometrischer Ansteuerung der Druckwaage (Modell A.)



4: Statisches Kennfeld  $Q = f(p_A - p_B, E)$  des vorgesteuerten Stromregelventils mit Volumenstromsensor und Kraftrückführung (Modell B.)

## Untersuchung des statischen Verhaltens

Die **Tafel** gibt eine Übersicht über die wichtigen Konstruktionsdaten der Ventile A<sub>1</sub> und B<sub>1</sub>, die für die nachfolgenden Untersuchungen eingesetzt wurden.

**Bild 3** zeigt das gemessene statische Kennlinienfeld  $Q = f(p_A - p_B, E)$  des Versuchsmodells A<sub>1</sub>. Das Gleichstromverhalten dieses Ventils ist als zufriedenstellend zu bezeichnen. Für kleine Volumenstromwerte  $10 \cdot Q \cdot 50$  l/min sind praktisch kaum Abweichungen von der Vorgabe festzustellen. Bei großen Volumenstromwerten  $Q \geq 50$  l/min ist dagegen eine geringe Verminderung des Volumenstromsignals mit steigender Druckdifferenz  $p_A - p_B$  am Stromregelventil festzustellen. Für einen eingestellten Volumenstrom von nahezu 90 l/min führt das zum Beispiel zu einer Lastdruckänderung  $\Delta p_B = 200$  bar, so daß sich hierfür der Lastgradient  $\lambda = \partial Q / \partial p_B$  zu  $\lambda = 3/200 = 1,5 \cdot 10^{-2}$  l/min · bar ergibt. Die Mindestdruckdifferenz  $\Delta p_{\min}$  ist mit 10 bar für kleine und 23 bar für große Volumenströme relativ hoch.

vergleichbar sind – ein günstigeres Regelverhalten auf. Der Vergleich der beiden Bauformen A<sub>1</sub> und B<sub>1</sub> im Hinblick auf die zweite Kenngröße zur Beurteilung des statischen Verhaltens – die Mindestdruckdifferenz – fällt ebenso zugunsten des Modells B<sub>1</sub> aus. Für Modell A<sub>1</sub> beträgt sie bei kleinen Volumenstromwerten  $\Delta p_{\min} = 10$  bar, für große Volumenstromwerte  $\Delta p_{\min} = 23$  bar; für Modell B<sub>1</sub> hingegen nur  $\Delta p_{\min} = 8$  bar bzw.  $\Delta p_{\min} = 16$  bar. Die dritte Kenngröße des statischen Verhaltens, die die Abhängigkeit des Volumenstroms von der Ötemperatur  $\vartheta$  bezeichnet, ist für die Bauform B<sub>1</sub> näher untersucht. Hiernach ergibt sich bei einer Temperaturänderung von  $\Delta \vartheta = 40^\circ\text{C}$  eine Volumenstromänderung von  $\Delta Q = 1,6$  l/min, d. h. der temperaturspezifische Volumenstromkoeffizient  $\mu = \partial Q / \partial \vartheta$  ergibt sich zu  $\mu \approx 4 \cdot 10^{-2}$  l (min °C) [2].

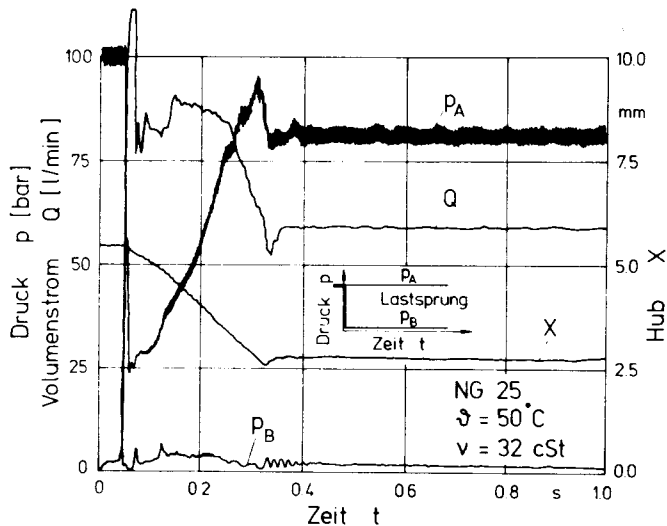
Tafel: Wichtige Parameter der Versuchsobjekte

$C_{FR}$	–	5,72
$C_{FZ}$	6,8	4,8
$C_{FX}$ (N/mm)	3,5	3,5
$C_{FY}$ (N/mm)	6,32	4,0
$B_Y$	2 x $\varnothing$ 2,5 Kreisquerschnitt	2 x $\varnothing$ 2,5 Kreisquerschnitt
$B_X$	2 x $\Delta$ Dreiecksquerschnitt	2 x $\Delta$ Dreiecksquerschnitt
$B_2$ (mm)	4 x 4,25	4 x 4,25
$d_{R2}; d_{R3}$ (mm)	1,4	1,4
$d_{R1}$ (mm)	1,0	1,0
$D_Y$ (mm)	6,0	6,0
$AX' AZ$	1,0	1,0
$D_X, D_Z$ (mm)	26,0	26,0
Nenngröße	NG 25	NG 25
Parameter Modell	Modell A <sub>1</sub>	Modell B <sub>1</sub>

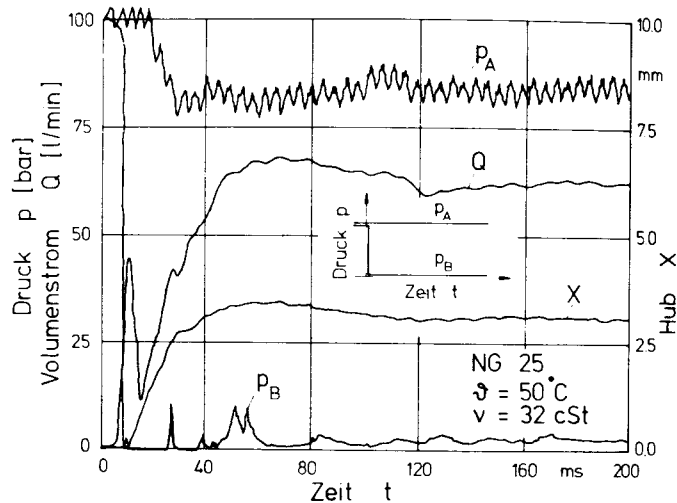
## Untersuchung des dynamischen Verhaltens

Für die Untersuchung des dynamischen Verhaltens der beiden Ventile dient ein Prüfstand, mit dem sowohl die sprungförmige Änderung des Lastdruckes  $p_B$  als auch die des Versorgungsdruckes  $p_A$  ermöglicht werden. **Bild 5** zeigt schematisch die jeweilige Verschaltung der Prüfstandselemente Pumpe, Druckbegrenzungselement, Volumenstromsensor, Lastblenden und Schnellschaltventil. Durch die parallel geschalteten Lastblenden lassen sich mit diesem Prüfstand in gleicher Weise Anfahrspünge und Lastspünge im Regelbereich ausführen.





8: Sprungantwort des Versuchsobjektes A, auf eine sprungförmige Änderung des Lastdruckes  $p_B$  (Anfahrtsprung)



9: Sprungantwort des Versuchsobjektes B, auf eine sprungförmige Änderung des Lastdruckes  $p_B$  (Anfahrtsprung)

net, um nach 40 ms nahezu ohne Stromüberhöhung den vorgegebenen Volumenstrom zu erreichen.

Zum Abschluß wird das dynamische Verhalten bei kleinen Lastdruckänderungen, die innerhalb des Regelbereiches der Versuchsobjekte erfolgen, anhand von zwei Sprungantworten diskutiert.

Für das Stromregelventil A, zeigt Bild 10 die Lastdruckänderung von  $p_B = 25$  bar auf  $p_B = 57$  bar bzw. von  $p_B = 57$  bar auf  $p_B = 25$  bar. Bis zum Zeitpunkt  $t = t_0$  ist das Ventil in der den Betriebsgrößen entsprechenden Regelposition. Die Druckdifferenz  $p_A - p_B$  am Versuchsobjekt beträgt hierbei  $\Delta p = p_A - p_B = 62$  bar. Der Volumenstrom ist auf  $Q = 62$  l/min eingestellt. Schaltet zum Zeitpunkt  $t = t_0$  das Wegeventil von der Durchlaß- in die Sperrstellung, wächst der Lastdruck innerhalb von 30 ms um  $\Delta p_B = 32$  bar. Durch die geringe Druckänderungsgeschwindigkeit  $\dot{p}_B$  ist das Ventil bei dieser Lastdruckänderung in der Lage, die Druckänderung weitgehend auszuregulieren, so daß nur kurzfristig eine geringe Abweichung zwischen Soll- und Istwert des Volumenstromes entsteht. Dagegen erfolgt die Lastdruckänderung von  $p_B = 57$  bar auf  $p_B = 25$  bar mit wesentlich größerer Druckänderungsgeschwindigkeit  $\dot{p}_B$ , so daß sich hierfür eine deutliche Regelabweichung  $\Delta Q = Q_{ist}(t) - Q_{soll}$  einstellt. Hinzu kommt, daß die Schließbewegung des Stellgliedes langsamer erfolgt als die Öffnungsbewegung, da die Bewegung

des Stellgliedes in Öffnungsrichtung hauptsächlich durch Druckdifferenzen am Stellglied hervorgerufen wird, während in Schließrichtung – die Druckkräfte sind hierbei weitgehend ausgeglichen – die relativ geringe Federkraft in der Kräftebilanz am Stellglied den größten Einfluß ausübt. Außerdem ist die schwache Dämpfung des Versuchsobjektes A<sub>1</sub>, insbesondere bei Druckänderungen zu niedrigen Lastdrücken, zu ersehen. Ähnliche Ergebnisse ergeben sich mit dem Anwachsen der Druckdifferenz  $p_A - p_B$  am Stromregelventil.

Für das Stromregelventil B, zeigt Bild 11 eine vergleichbare Lastdruckänderung. Ebenso wie in Bild 10 erfolgt hier zum Zeitpunkt  $t = t_0$  eine positive Lastdruckänderung zu einem höheren Lastdruck  $p_B$  und anschließend zum Zeitpunkt  $t = t_1$ , eine negative Lastdruckänderung, bei der  $p_B$  abgesenkt wird. Die Druckänderungsgeschwindigkeit  $\dot{p}_B$  erweist sich hier – ebenso wie in Bild 10 – als zu gering, um eine bemerkenswerte Abweichung zwischen Soll- und Istwert des Volumenstromes hervorzurufen. Dagegen erfolgt die negative Lastdruckänderung mit einer so großen Druckänderungsgeschwindigkeit  $\dot{p}_B$ , daß das Ventil etwa 100 ms benötigt, um das vorhandene Fehlerintegral  $\int_0^t (Q_{ist}(t) - Q_{soll}(t)) dt$  bei gleicher Sprungerregung um etwa 50 % geringer ist als beim Stromregelventil A<sub>1</sub>.

## Zusammenfassung

Seit Jahren ist bei hydrostatischen Baueinheiten die Tendenz zu größeren Antriebsleistungen sowie zu erhöhten Anforderungen an das Steuer- und Regelverhalten festzustellen. Die vorliegende Untersuchung greift diese Entwicklung für 2-Wege-Stromregelventile auf, indem vorgesteuerte Baueinheiten, deren Konstruktion auch für große und sehr große Volumenströme geeignet ist, eingehend untersucht werden.

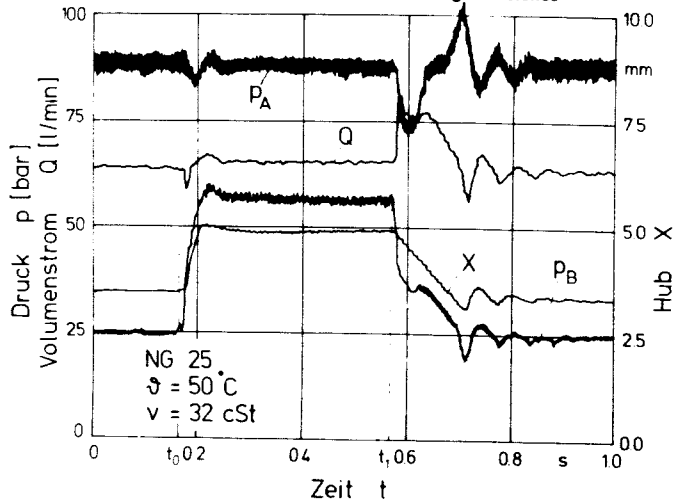
Als Versuchsobjekte wurden ein Stromregelventil, das auf dem Prinzip der Differenzdruckregelung an einer Meßblende basiert (A<sub>1</sub>), und ein Stromregelventil, das nach einem neuen Regelkonzept mit Volumenstromsensor und Kraftrückführung arbeitet (B<sub>1</sub>), ausgewählt. Die Meßergebnisse des statischen und dynamischen Verhaltens beider Versuchsobjekte wurden vorgestellt und eingehend diskutiert. Beim Vergleich des Regelverhaltens beider Versuchsmodelle weist das Versuchsobjekt B, bessere Kennwerte auf als Modell A<sub>1</sub>.

## Literaturhinweise:

- [1] Trudzinski, R. M.: Experimentelle und analytische Bestimmung des Betriebsverhaltens von direktwirkenden und vorgesteuerten 2-Wege-Stromregelventilen. Dissertation TH Aachen, 1980
- [2] Lu, Y. H.: Entwicklung vorgesteuerter Proportionalventile mit 2-Wege-Einbauventil als Stellglied und mit geräteinterner Rückführung. Dissertation TH Aachen, 1981

Bildnachweis: Verfasser

10: Sprungantwort des Versuchsobjektes A, auf eine sprungförmige Änderung des Lastdruckes  $p_B$  innerhalb des statischen Regelbereiches



11: Sprungantwort des Versuchsobjektes B, auf eine sprungförmige Änderung des Lastdruckes  $p_B$  innerhalb des statischen Regelbereiches

